

A. И. 博格丹諾夫著

垂向电測深三层曲线的作图法和解釋法

地质出版社

垂向电測深三層曲線的作圖法和解釋法

A. И. 博 格 丹 諾 夫

地質出版社

1957·北京

А. И. БОГДАНОВ
ГРАФИЧЕСКИЙ СПОСОБ ПОСТРОЕНИЯ И
ИНТЕРПРЕТАЦИИ ТРЕХСЛОЙНЫХ КРИВЫХ
ВЕРТИКАЛЬНОГО ЭЛЕКТРИЧЕСКОГО ЗОНДИРОВАНИЯ
ГОСТОПТЕХИЗДАТ

1948

在本書中叙述了繪制列綫圖的原理、繪制的方法以及實際使用的
方法，用這些列綫圖並能轉換向電測深三層曲線的繪制（圖解
法）和解釋。作者所繪製的列綫圖是第一次公布，這裡概括了三層曲
線理論計算的全部現有的資料，這種理論計算由國家聯盟地球物理托
拉斯的工作人員集體完成的。

本書可供電法勘探方面工程技術人員以及高等學校地球物理探礦
專業的高年級同學用。

全書由吳素祥同志譯釋、傅良魁同志校、林振民同志復校。

電測深三層曲線的作圖法和解釋法

著者 A. И. Боданов

譯者 吳素祥

校訂者 傅良魁 林振民

出版者 地質出版社

北京宣武門外永光寺西街3號

北京市郵局編號：郵資函：字第010号

發行者 新華書店

印刷者 地質印刷廠

北京廣安門內教子胡同甲1號

編輯：陳培光 校對：胥次民

印數(京)1—700冊 1957年9月北京第1版

开本 $31'' \times 43'' \frac{1}{16}$ 1957年9月第1次印刷

字數30,000 印張 $1\frac{1}{4}$ 插頁21

定价(10)0.40元

內 容

緒 言

- I. 列 線 圖 的 繪 制 原 理
- II. 列 線 圖 的 繪 制 方 法
- III. 列 線 圖 的 使 用 規 則

1. 正 演 問 題 的 解
2. 反 演 問 題 的 解

IV. 应 用 列 線 圖 的 实 例

1. 垂 向 电 测 深 (B33) 三 層 曲 線 的 繪 制

- 例 1
- 例 2
- 例 3

2. 垂 向 电 测 深 (B33) 三 層 曲 線 的 解 釋

- 例 4
- 例 5
- 例 6

結 論

緒 言

本書向讀者介紹利用專門繪制的列線圖進行垂向電測深(B33)三層曲線的繪制和解釋的圖解法。本書描述了繪制這些列線圖的原理和方法，這些列線圖概括了現有B33三層曲線的理論計算資料，并且是第一次作為列線圖公開發表。

起初，概括現有材料的目的是研究B33三層曲線所固有的某些規律，在上述工作的過程中發現有可能利用這些列線圖來研究等值原理作用的範圍。曾經表明了這一範圍的局限性，這就使得有可能利用列線圖對實測的電測深曲線進行解釋，並對於任何給定的三層剖面的參數用圖解法繪出曲線。

本書還給出使用列線圖的規則，以解決電法勘探的正演問題和反演問題。本文的敘述具有規範的性質，使列線圖在解釋B33曲線的實際應用上更加簡便。

應該指出，所舉出的列線圖在某些程度上已經受到實踐的考驗。在薩拉托夫和布古魯斯蘭含油氣區中曾順利地利用這些列線圖來解釋電法勘探工作的資料，它們既用以確定剖面的參數，又用來圖解繪制三層及四層測深曲線的量板，這些量板相應於上述地區所觀察到的地電剖面的類型。

I、列綫圖的繪制原理

垂向電測深曲線上任一點的視電阻率 (ρ_k) 是斷面參變數及測量裝置大小的函數。

如果我們研究的三層斷面是各向同性的、均勻的水平層系，那末斷面參變數及測量裝置大小和 ρ_k 之間的函數關係的一般形式可寫為：

$$\rho_k = f \left(\rho_1; \rho_2; \rho_3; h_1; h_2; \frac{AB}{2} \right). \quad (1)$$

式中 ρ_1 、 ρ_2 和 ρ_3 —分別為第一層、第二層及第三層的電阻率；

h_1 和 h_2 —第一層和第二層的厚度（假設第三層的厚度為無限大）；

$\frac{AB}{2}$ —測量該 ρ_k 的供電電極距之半。

在表达式 (1) 中沒有包含測量電極距，而假設它為無限小，因為本書的分析所依據的條件與計算電測深理論曲線時所假設的條件相同。

為了更具有普遍性並為了進一步研究的方便起見，最好將 (1) 寫成另一形式，即將所有數量表示為對第一層參變數的比值。這樣我們得到。

$$\frac{\rho_k}{\rho_1} = q \left(\frac{\rho_2}{\rho_1}; \frac{\rho_3}{\rho_1}; \frac{h_2}{h_1}; \frac{AB}{2h_1} \right), \quad (2)$$

理論曲線（量板）表示 $\frac{\rho_k}{\rho_1}$ 與 $\frac{AB}{2h_1}$ 之間的關係，這時表达式 (2) 中所包含的另外兩個參變數比值為某些常數，並且其中有一個比值是整個曲線族的共同參變數。用這種方法來表示方程式 (2) 對於實際應用上較為方便，因為電測深的實驗曲線都表現為測量的 ρ_k 值對

$\frac{AB}{2}$ 之關係。這種表示法使得有可能利用將觀察曲線與理論曲線相對照的方法以解決電法勘探的反演問題，即確定斷面的未知參變數。

為了研究三層電性斷面的特徵，應將方程式 (2) 寫成稍許不同於通常的形式。

假設 $\frac{AB}{2h_1}$ 等於某一個常數 C ，並將 $\left(\frac{\rho_k}{\rho_1} \right)_e$ 作為所研究的斷面的參變數比值 $\left(\frac{\rho_2}{\rho_1}, \frac{\rho_3}{\rho_1} \right)$ 和 $\frac{h_2}{h_1}$ 的函數來研究。

將方程式 (2) 改寫為下式：

$$\left(\frac{\rho_k}{\rho_1} \right)_e = \psi \left(\frac{\rho_2}{\rho_1}; \frac{\rho_3}{\rho_1}; \frac{h_2}{h_1} \right) \quad (3)$$

我們選擇一個空間直角坐標系，並在每一軸上寫出未知的參變數比值 $\frac{\rho_2}{\rho_1}$ 、 $\frac{\rho_3}{\rho_1}$ 和 $\frac{h_2}{h_1}$ 。

為了以後作圖方便起見，我們沿坐標軸將不取參變數比值的本身，而取它們的以十為底的對數（圖 1）。

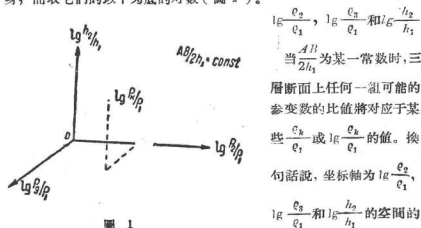


圖 1

是值为 $\lg \frac{r_k}{r_1}$ 的标量场。在这标量场中，可以每隔一定的间隔作出等 $\lg \frac{r_k}{r_1}$ 值面，这样，就得到等 $\lg \frac{r_k}{r_1}$ 值面族。在同一坐标系内，但 $\frac{AB}{2h_1}$ 为另一常数时，同样可得到类似的等 $\lg \frac{r_k}{r_1}$ 值面族。

由此可见，在上述的坐标轴的空间内可以有任何数量的无向量场，并且与其相适应地，有任何数量的等 $\lg \frac{r_k}{r_1}$ 值面族，各面之间的关系是复杂的。这些曲面族是在实践上有用的资料。

空间的规律性的分析是十分困难的，所以最好将这些关系的分析转移到平面上，这是很容易做到的，只要垂直于某一坐标轴做一组截面就行了。曲面族与该组截面相交成曲线族，这曲线族表示出 $\lg \frac{r_k}{r_1}$ 对断面的参变数的两个比值的关系；而第三个参变数的比值为一常数。

为了分析三层数断面的规律，原则上与三个不同的 $\frac{AB}{2h_1}$ 值相对应的三个无向量场就足够了。因为函数关系式（3）是以含有三个未知数的方程式来表达的。以图解法求含有三个未知数的方程式（3）的联立方程（三元联立）的解，就可以得到分析的结果，这时，只要使三个标量场的空间的坐标轴相合，并找出某点兼有三个标量。第四个及第五个等等的标量场对解决这个联立方程来说是多余的。

第四个场可做为分析解答的验算及辅助之用。

无论解决电法勘探的正演问题也好，解决反演问题也好，都可以应用标量场的综合。下面用实例说明。现在我们再来谈另一个问题，即：如何实际绘制曲线族，这些曲线族是曲面族与垂直于某一坐标轴的平面相截的轨迹。

II. 列綫圖的繪制方法

为了繪制列綫圖曾經利用过全部現有的計算資料，这些資料乃是繪制 B33 三層曲綫量板用的基礎。所有量板被分为十三組，相應于变化范围从 $\frac{1}{39}$ 到 39 之間的不同的 $\frac{\varrho_2}{\varrho_1}$ 值，在每一組中包括有六个 $\frac{\varrho_3}{\varrho_1}$ 值 $\left\{ 0; \left(\frac{\varrho_2}{\varrho_1}\right)^0; \left(\frac{\varrho_2}{\varrho_1}\right)^{\frac{1}{2}}; \left(\frac{\varrho_2}{\varrho_1}\right)^{\frac{3}{2}}; \left(\frac{\varrho_2}{\varrho_1}\right)^2; \infty \right\}$ 和不同的 $\frac{h_2}{h_1}$ 比值（变化范围从 $\frac{1}{3}$ 和 24 的曲綫）。

选取四个 $\frac{AB}{2h_1}$ 值（即 4、8、16 及 32）進行研究，因为这些值包括了三層曲綫的这样一部分綫段，在这綫段內，断面上所有參变量的影响表現得最为完整。对于上述 $\frac{AB}{2h_1}$ 值用所有現有的量板确定 $\lg \frac{\varrho_3}{\varrho_1}$ 的值。

在直角坐标系（圖 2）的横坐标上取 $\lg \frac{\varrho_3}{\varrho_1}$ 值，在縱坐标軸上取 $\lg \frac{\varrho_k}{\varrho_1}$ 值。这样，对于不同的 $\frac{\varrho_2}{\varrho_1}$ 值就繪制了上述数量之間的关系曲

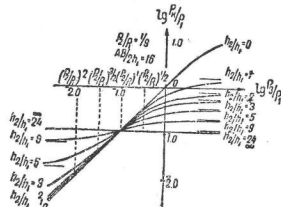


圖 2

綫，这时， $\frac{\varrho_2}{\varrho_1}$ 及 $\frac{AB}{2h_1}$ 值为常数。

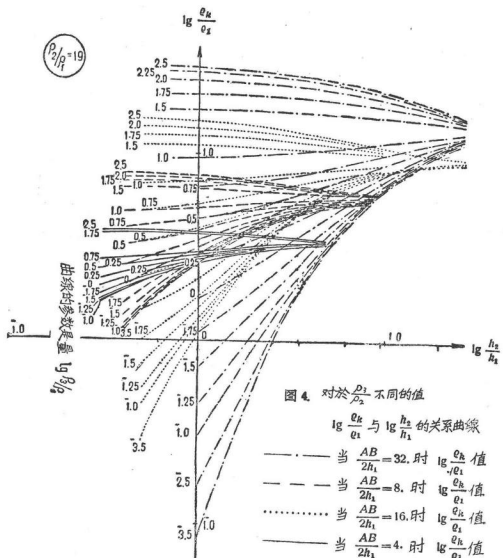
顯而易見，要繪制曲綫族中的每一条曲綫，就要有五个点及兩条漸近綫的位置。事实上，当 $\frac{\varrho_3}{\varrho_1} = \infty$ 时， $\lg \frac{\varrho_3}{\varrho_1} = +\infty$ ；当 $\frac{\varrho_3}{\varrho_1} = 0$ 时， $\lg \frac{\varrho_3}{\varrho_1} = -\infty$ ；对于不同的 $\frac{\varrho_2}{\varrho_1}$ ，相應于这两情况的 $\lg \frac{\varrho_k}{\varrho_1}$ 值，就是漸近值；中間部分的 $\frac{\varrho_3}{\varrho_1}$ 值，即 $\left(\frac{\varrho_2}{\varrho_1}\right)^0; \left(\frac{\varrho_2}{\varrho_1}\right)^{\frac{1}{2}}; \left(\frac{\varrho_2}{\varrho_1}\right)^1; \left(\frac{\varrho_2}{\varrho_1}\right)^{\frac{3}{2}}$ 和 $\left(\frac{\varrho_2}{\varrho_1}\right)^2$ ，繪出曲綫上五个区间点。

$\frac{\varrho_3}{\varrho_1}$ 值等于 $\left(\frac{\varrho_2}{\varrho_1}\right)^1$ 的点是曲綫族中所有曲綫的共同点。这种兩層斷面的情况 ($\varrho_3 = \varrho_2$)，可当作三層斷面的特殊情況來研究。顯然，在这种条件下，不論 $\frac{h_2}{h_1}$ 取何值， $\lg \frac{\varrho_k}{\varrho_1}$ 值都不取决于第二層（在这情况下等厚層）的厚度。

在这些点之間及其与漸近綫之間的曲綫位置用内插法确定，也就是用在作通常的量板时所应用的方法來确定的。進行内插时最大的困难發生在 $\frac{\varrho_2}{\varrho_1}$ 比值接近于一的場合。在这种情况下，可能產生很大的誤差。

上述曲綫变化（поведение）的規律，在相当的程度上取决于 $\frac{h_2}{h_1} = 0$ 的場合的曲綫。根据二層曲綫上取下的值容易精确地画出这条曲綫，該二層曲綫可設想为三層曲綫的特殊情況（即第二層厚度为零的情况）。

曲綫族中的第二条極限曲綫（当 $\frac{h_2}{h_1} = \infty$ 时）退化为平行于横坐标的直线。在这种情况下，当 $\frac{AB}{2h_1}$ 为有限值时， $\lg \frac{\varrho_k}{\varrho_1}$ 将不取决于 $\frac{\varrho_2}{\varrho_1}$ 。这是三層曲綫与二層曲綫相同的第三种特殊的情况。



和圖 6 相类似的輔助曲綫族，就可以繪制等这些曲綫族是等 $lg \frac{q_k}{q_1}$ 值的空間曲面与垂直于軌跡。这些平面具有坐标軸 $lg \frac{h_2}{h_1}$ 和 $lg \frac{q_k}{q_1}$ ，綫族，分別与 $\frac{AB}{2h_1}$ 的四个值相适应，而 $lg \frac{q_k}{q_1}$ 出了（附錄 1—19）19組这类曲綫族，相应于今后将称它们为列綫圖。讓我們簡短地討論如

对数單位的等 $lg \frac{q_k}{q_1}$ 值綫是具有兩個漸近綫的近綫平行于 $lg \frac{h_2}{h_1}$ 軸，另一条漸近綫与横坐标 35° 角。

着 $lg \frac{h_2}{h_1}$ 值的增大，等 $lg \frac{q_k}{q_1}$ 值綫更早地离开 35° 角的漸近綫，并且更快地逼近于与 $lg \frac{h_2}{h_1}$ 軸

族曲綫实际上は相互平行的，或者說得更确切在列綫圖的中部，各族曲綫相交成較鈍的角，列綫圖的上部曲綫圖的相交重新轉为較不清接近于与 $lg \frac{h_2}{h_1}$ 相平行的漸近綫。

种相互关系的物理意义如下。

式：

$$\left(lg \frac{q_k}{q_1}; lg \frac{h_2}{h_1} \right) \quad (4)$$

$2.25; 2.50; 2.75; 1.00; 1.25; 1.50; 1.75;$
 $0.75; 1.00; 1.25; 1.50; 1.75; 2.00; \infty.$

的圖解表示，这时 $\frac{AB}{2h_1}$ 值与 $\frac{\varrho_2}{\varrho_1}$ 值为选定的恒定值。方程式(4)的根可以用圖解法求出具有给定 $\lg \frac{\varrho_2}{\varrho_1}$ 值的曲綫的交点而加以确定。

在列綫圖的中部，族曲綫的交角为鈍角，这时所得到的解答是相当确定的。在列綫圖的下部及上部，各族曲綫几乎是相互平行或者变成相当小的銳角，这时所得解答实际上变成十分不确定。虽然理論上是能得到解答。由于测量 ℓ_k 时經常含有誤差，所以确定 ϱ_2 和 h_2 的誤差就大为增加，有时，誤差可达到这样大的数值，以致可以說实际上得不到問題的單值解。

事实上，如果認為測量 ℓ_k 的誤差为士 5%，則以圖解法求方程式的解时，所要尋求的不是綫的交点，而是某些区域的相交帶，并且認為，在此帶内任何一点的坐标都可能是这組联立方程的解。

这个帶的边界各不相同，它取决于所測 ℓ_k 的誤差。此外（除这是最主要的目的以外），这个帶的大小还取决于断面上参数的比例。

在列綫圖的下部，曲綫几乎相互平行并趋近于与横軸成 45° 或 135° 的漸近綫，这带僅有上部才是閉合的，而向左下方或在右下方无限延伸。在列綫圖上的情形则相反，这种帶只是下部才閉合，而向上无限延伸。最后，在中部它們在所有方向上都是有界的，并繪出了所要尋求的斷面參变数的可能变化的有限範圍。

由此可见，在列綫圖的下部，这就是說，在 $\frac{h_2}{h_1}$ 的值很小时，联立方程式的解可能是不确定的，有一系列的 $\frac{\varrho_2}{\varrho_1}$ 和 $\frac{h_2}{h_1}$ 比值都可滿足这个联立方程式。漸近綫的傾角成 45° 这件事实說明，当問題的解不

确定时，一系列的解之間有一定关系。当漸近綫 傾角为 45° 时， $\frac{h_2}{\varrho_2} = \text{const}$ ，当漸近綫傾角为 135° 时， $h_2 \varrho_2 = \text{const}$ 。从漸近綫方程中可直接得出这个論斷。不难看出，这些比例关系表示了由經驗确定的、并为电法勘探工作者所熟知的等值原理。 $(S = \frac{h_2}{\varrho_2} = \text{const}; T = h_2 \varrho_2 = \text{const})$ 。

这样，在列綫圖下部，曲綫族的相互平行是等值原理的圖解表示。列綫圖很明确地說明这个原理的作用范围，并能对所有类型的二層断面估計其作用的界限。作为一个例子，在附錄13中引出了等值原理作用范围的約定上限，这时假設测定 ℓ_k 的誤差为士 5%。

曲綫族向平行于 $\lg \frac{h_2}{h_1}$ 軸漸近綫的靠近有着完全不同的物理意义。当曲綫族平行于 $\lg \frac{h_2}{h_1}$ 軸面相包含时，它們确定了与其相应的 $\lg \frac{\varrho_2}{\varrho_1}$ 值，但 $\lg \frac{h_2}{h_1}$ 值还是不确定的，这个值可能大于某个極限值。这一情况与 $\frac{h_2}{h_1}$ 较大值相适应，这一情況說明，在給定的 $\frac{AB}{2h_1}$ 值的范围内 B93 曲綫段不受第三層（基層）的影响。如果我們研究当 $\frac{AB}{2h_1}$ 为較大值时的 ϱ_k ，那末 $\frac{h_2}{h_1}$ 的不确定性就会消失。

从以上全部叙述中不难看出，所例举的列綫圖可用来定量地解决电法勘探的正演及反演問題，也就是说，这些列綫圖可用来根据断面上給定的參变数繪制出 B93 三層曲綫，也可以用來根据給定的 B93 三層曲綫推定断面上的參变数，假使等值原理对給定的 B93 曲綫不适用的話。

III. 列綫圖的使用規則

之。

1. 正演問題的解

給定了斷面上的參變數的比： $\frac{e_2}{e_1}$ ， $\frac{e_3}{e_1}$ 和 $\frac{h_2}{h_1}$ ，要求繪制與它相應的B33三層曲線。

求出 $\frac{e_3}{e_1}$ 的以十為底的對數。假設，在特殊情況下 $\lg \frac{e_3}{e_1}$ 等於在繪制列綫圖時所取的參變數值中的一个。

取一個列綫圖，它的 $\lg \frac{e_3}{e_1}$ 值等於給定的值，在這列綫圖上放上一張空白的雙對數坐標紙，其系數為6.25公分，這系數與列綫圖的對數單位值相應。在重疊的時候，要使對數紙的1.10或100線與坐標軸相重合，並使該數的方向為向右及向上，這些線在以後就當作坐標軸，讀數就從它們開始。橫坐標—— $\frac{e_2}{e_1}$ 軸，縱坐標—— $\frac{h_2}{h_1}$ 軸。

將坐標為 $\frac{e_2}{e_1}$ 和 $\frac{h_2}{h_1}$ 的點（這些值等於給定的剖面的參變數的比值）畫到雙對數坐標紙上，並且利用內插法確定出 $\lg \frac{e_k}{e_1}$ 值，這值相應於通過這點的曲線。

將求得的 $\lg \frac{e_k}{e_1}$ 值和查對數得出的 $\frac{e_k}{e_1}$ 填入表格1中，並要取以下的符號：

當 $\frac{AB}{2h_1} = 4$ 時， $\lg \frac{e_k}{e_1}$ 和 $\frac{e_k}{e_1}$ 分別以 $\lg \left(\frac{e_k}{e_1} \right)_4$ 和 $\left(\frac{e_k}{e_1} \right)_4$ 表示之。

當 $\frac{AB}{2h_1} = 8$ 時， $\lg \frac{e_k}{e_1}$ 和 $\frac{e_k}{e_1}$ 分別以 $\lg \left(\frac{e_k}{e_1} \right)_8$ 和 $\left(\frac{e_k}{e_1} \right)_8$ 表示之。

當 $\frac{AB}{2h_1} = 16$ 時， $\lg \frac{e_k}{e_1}$ 和 $\frac{e_k}{e_1}$ 分別以 $\lg \left(\frac{e_k}{e_1} \right)_{16}$ 和 $\left(\frac{e_k}{e_1} \right)_{16}$ 表示之。

表 1

給定： $\frac{e_2}{e_1} = \dots, \frac{e_3}{e_1} = \dots, \frac{h_2}{h_1} = \dots,$

$\frac{AB}{2h_1}$	$\lg \left(\frac{e_k}{e_1} \right)$	$\left(\frac{e_k}{e_1} \right)_n$
4	$\lg \left(\frac{e_k}{e_1} \right)_4$	$\left(\frac{e_k}{e_1} \right)_4$
8	$\lg \left(\frac{e_k}{e_1} \right)_8$	$\left(\frac{e_k}{e_1} \right)_8$
16	$\lg \left(\frac{e_k}{e_1} \right)_{16}$	$\left(\frac{e_k}{e_1} \right)_{16}$
32	$\lg \left(\frac{e_k}{e_1} \right)_{32}$	$\left(\frac{e_k}{e_1} \right)_{32}$

這樣一來，我們確定了與給定的斷面相適應的三層曲線上的四個點的 $\frac{e_k}{e_1}$ 值，留下的問題只是繪制這條三層曲線。為此，取空白的B33的對數坐標紙，並繪上與 e_1 和 h_1 相應的“十字”。之後，畫上未知曲線的四個點，其坐標分別為

$$\left\{ 4, \left(\frac{e_k}{e_1} \right)_4 \right\}; \left\{ 8, \left(\frac{e_k}{e_1} \right)_8 \right\}; \left\{ 16, \left(\frac{e_k}{e_1} \right)_{16} \right\}; \left\{ 32, \left(\frac{e_k}{e_1} \right)_{32} \right\}.$$

為了更容易作出三層曲線，最好在曲線的左部，用CH-1量板作出三層曲線，其模數 $\frac{e_2}{e_1}$ 與前面為三層曲線而給定的模數相同。我們的三層曲線在其左部應漸近地趨近於這條二層曲線。未知曲線右支的漸近線是平行於橫坐標軸而又與給出的 $\frac{e_3}{e_1}$ 值相應的直線。有了左漸近線和右漸近線及曲線的四個點後，可很容易地作出全條曲線。

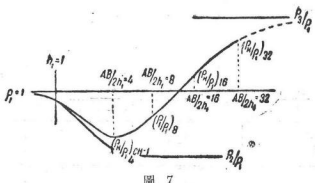


圖 7

作B33三層曲線的示意圖如圖7所示。这时，假使不是繪制一条曲綫，而是对某些 $\frac{c_2}{e_1}$ 或 $\frac{h_2}{h_1}$ 值繪制一系列曲綫，則內插就变为简便些，而当有足夠經驗時，繪制一条曲綫可進行得很快。

假使給定的 $\frac{c_3}{e_1}$ 值的對數不符合于繪制列綫圖時而采取的 $\lg \frac{c_3}{e_1}$ 中的任何一值，則須遵守以上敘述的規則作出接近于 $\lg \frac{c_3}{e_1}$ 的給定值的二條曲綫，并且在兩條綫之間用內插法求出未知曲綫。

2. 反演問題的解

給定B33三層曲綫。要求確定与此曲綫相應斷面上的參變數。

用CH-1的量板或者任何一塊與給定曲綫最接近的三層量板確定出 e_1 , h_1 ; 然後分別計算等於 $4h_1$, $8h_1$, $16h_1$ 和 $32h_1$ 的 $\frac{AB}{2}$ 值。对于這些 $\frac{AB}{2}$ 值，从B33曲綫上取下 c_k 值，并確定 $\frac{c_k}{e_1}$ 比值。取這些比值的以十為底對數：

$$\lg \left(\frac{c_k}{e_1} \right)_4; \quad \lg \left(\frac{c_k}{e_1} \right)_8; \quad \lg \left(\frac{c_k}{e_1} \right)_{16}; \quad \lg \left(\frac{c_k}{e_1} \right)_{32}$$

根据B33曲綫的外形可近似地确定 $\frac{c_3}{e_1}$ 比值的級次，由此可確定 $\lg \frac{c_3}{e_1}$ 的級次。

我們選擇幾個列綫圖，這些列綫圖的 $\lg \frac{c_3}{e_1}$ 值接近于給定的B33曲綫的 $\lg \frac{c_3}{e_1}$ 值。按照以上所說的規則將B33的空白坐标紙複在列綫圖上，并用鉛筆畫出与所求出的 $\lg \left(\frac{c_k}{e_1} \right)$ 值相應的曲綫段。

如果在某一個列綫圖上，曲綫族的四條曲綫交于一點，那這個

列綫圖的 $\lg \frac{c_3}{e_1}$ 值就等于所解釋的B33曲綫的真正 $\lg \frac{c_3}{e_1}$ 值。該交點的坐標給出了所解釋曲綫相应的 $\lg \frac{c_2}{e_1}$ 和 $\lg \frac{h_2}{h_1}$ 。这样就确定了 $\frac{c_2}{e_1}$, $\frac{c_3}{e_1}$ 和 $\frac{h_2}{h_1}$ 值。由此，要是知道了 e_1 和 h_1 后，就很容易求得 c_2 , c_3 和 h_2 。

有可能發生这样情况，无论在那一个列綫圖上，曲綫族的各曲綫不相交于一点，而三个曲綫族的曲綫相交成曲綫三角形（*триольцевые треугольники*）。如果画列綫圖时所采取的 $\lg \frac{c_3}{e_1}$ 的任一值都不等于所解释B33曲綫的 $\lg \frac{c_3}{e_1}$ 值时，则将产生上述情况，在这种情况下問題的解应当从两个列綫圖之間進行內插而求得。这两个列綫圖应这样地選擇，使得由一个列綫圖轉到另一个列綫圖时曲綫三角形的邊的相互排列发生变化。这个问题将在討論具体实例时得到詳細的闡明。

也会發生这样情况，无论在那一張列綫圖上，既得不到曲綫族的交点，也不發生曲綫三角形的邊的相互位置的变化，这一現象可能由以下的情况來引起的，就是所解释的B33曲綫实际上比較三層曲綫更为複雜，虽然按其外形是看不到这种情况的。

为了避免較大的誤差，在按B33曲綫確定斷面的參變數后，应根据这些数据用上述方法作出理論曲綫，并將实际曲綫与理論曲綫相重合，以驗算所進行的解釋是否正确。

为了更完整的說明用列綫圖解電法勘探正演和反演問題，我們再來討論一系列的实例。应指出，在下面的全部問題中， e 的單位为歐姆公尺， h 的單位为公尺〔为了簡單起見， e 和 h 的因次到处都略去〕。

IV、使用列綫圖的实例

变数相适应。

1. 垂向电测深(B93)三層曲綫的繪制

例1 給定

$$\frac{\varrho_2}{\varrho_1} = 2.86; \quad \frac{\varrho_3}{\varrho_1} = 0.316; \quad \frac{h_2}{h_1} = 3.67.$$

由上得出

$$\lg \frac{\varrho_3}{\varrho_1} = -1.50$$

取 $\lg \frac{\varrho_3}{\varrho_1} = -1.50$ 的列綫圖(附錄8)。对于給定的 $\frac{\varrho_2}{\varrho_1}$ 和 $\frac{h_2}{h_1}$ 值, 取出 $\lg \left(\frac{\varrho_k}{\varrho_1} \right)_4$ 值, 并確定 $\left(\frac{\varrho_k}{\varrho_1} \right)_n$ 值:

$$\lg \left(\frac{\varrho_k}{\varrho_1} \right)_4 = 0.23; \quad \left(\frac{\varrho_k}{\varrho_1} \right)_4 = 1.70$$

$$\lg \left(\frac{\varrho_k}{\varrho_1} \right)_8 = 0.23; \quad \left(\frac{\varrho_k}{\varrho_1} \right)_8 = 1.70$$

$$\lg \left(\frac{\varrho_k}{\varrho_1} \right)_{16} = 1.98; \quad \left(\frac{\varrho_k}{\varrho_1} \right)_{16} = 0.955$$

將等於單位值的 ϱ_1 和 h_1 值以及給定的 $\frac{\varrho_2}{\varrho_1}$, $\frac{\varrho_3}{\varrho_1}$ 和 $\frac{h_2}{h_1}$ 画到双对数坐标紙上。

画上点(4; 1.70), (8.170)及(16; 0.955)。作出CH-1曲綫, 其模数为 $\frac{\varrho_2}{\varrho_1} = 2.86$ 。(因为在這量板上沒有具有这个模数的二層曲綫, 我們画出模数各为2.33和4的兩層曲綫; 然后用内插法作出未知曲綫)。把这条綫当作漸近綫, 我們通过依据列綫圖所确定的三个点作一曲綫。这样, 所得的曲綫如圖8所示, 此曲綫与給定的參

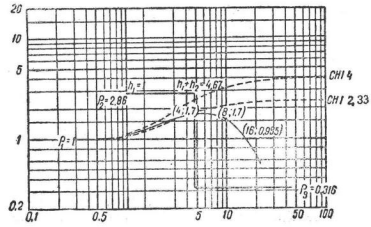


圖 8

例2 給定

$$\frac{\varrho_2}{\varrho_1} = 2.33; \quad \frac{\varrho_3}{\varrho_1} = 17.8 \text{ 和 } \frac{h_2}{h_1} = 6.15$$

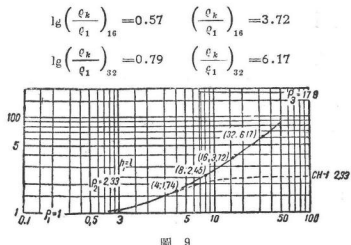
因而

$$\lg \frac{\varrho_3}{\varrho_1} = 1.25$$

利用 $\lg \frac{\varrho_3}{\varrho_1} = 1.25$ 的列綫圖(附錄15)。对給定的 $\frac{\varrho_2}{\varrho_1}$ 和 $\frac{h_2}{h_1}$ 值, 从列綫圖上取出 $\lg \left(\frac{\varrho_k}{\varrho_1} \right)_n$ 值, 并根据它們確定 $\left(\frac{\varrho_k}{\varrho_1} \right)$ 值。

$$\lg \left(\frac{\varrho_k}{\varrho_1} \right)_4 = 0.24 \quad \left(\frac{\varrho_k}{\varrho_1} \right)_4 = 1.74$$

$$\lg \left(\frac{\varrho_k}{\varrho_1} \right)_8 = 0.385 \quad \left(\frac{\varrho_k}{\varrho_1} \right)_8 = 2.43$$



將等於單位值的 ϱ_1 和 h_1 及給定的 $\frac{\varrho_2}{\varrho_1}$, $\frac{\varrho_3}{\varrho_1}$ 和 $\frac{h_2}{h_1}$ 画到坐标紙上(圖 9)。將坐標為 $(4; 1.74)$; $(8; 2.43)$; $(16; 3.72)$ 和 $(32; 6.17)$ 的點畫上。

繪制模數為 $\frac{\varrho_2}{\varrho_1} = 2.33$ 的 CH-1 曲線。通過所求出的點作未知曲線。

例 3 紿定

$$\lg \frac{\varrho_2}{\varrho_1} = 0.63; \quad \lg \frac{\varrho_3}{\varrho_1} = 2.50 \text{ 和 } \frac{h_2}{h_1} = 4.60$$

因而

$$\lg \frac{\varrho_3}{\varrho_1} = 0.40$$

圖冊上還沒有 $\lg \frac{\varrho_3}{\varrho_1} = 0.40$ 的列綫圖。

取 $\lg \frac{\varrho_3}{\varrho_1}$ 等於 0.25 和 0.5 的相鄰的兩個列綫圖(附錄 11 和 12)。

對給定的 $\frac{\varrho_2}{\varrho_1}$ 和 $\frac{h_2}{h_1}$ 作兩條曲線。已知曲線將位於這兩曲線之間，可

用內插法求得它。

根據 $\lg \frac{\varrho_3}{\varrho_1} = 0.25$ 的列綫圖(附錄 11)求得當 $\frac{\varrho_2}{\varrho_1} = 0.63$ 和 $\frac{h_2}{h_1} = 4.60$ 時的 $\lg \left(\frac{\varrho_k}{\varrho_1} \right)_n$ 和 $\left(\frac{\varrho_k}{\varrho_1} \right)_n$ 值。它們等於：

$$\lg \left(\frac{\varrho_k}{\varrho_1} \right)_4 = -1.87; \quad \left(\frac{\varrho_k}{\varrho_1} \right)_4 = 0.74$$

$$\lg \left(\frac{\varrho_k}{\varrho_1} \right)_8 = -1.89; \quad \left(\frac{\varrho_k}{\varrho_1} \right)_8 = 0.776$$

$$\lg \left(\frac{\varrho_k}{\varrho_1} \right)_{16} = 0.03; \quad \left(\frac{\varrho_k}{\varrho_1} \right)_{16} = 1.07$$

$$\lg \left(\frac{\varrho_k}{\varrho_1} \right)_{32} = 0.12; \quad \left(\frac{\varrho_k}{\varrho_1} \right)_{32} = 1.32$$

根據 $\lg \left(\frac{\varrho_3}{\varrho_1} \right) = 0.50$ 的列綫圖(附錄 12)求得當 $\frac{\varrho_2}{\varrho_1}$ 和 $\frac{h_2}{h_1}$ 等於

以上數值時的 $\lg \left(\frac{\varrho_k}{\varrho_1} \right)_n$ 和 $\left(\frac{\varrho_k}{\varrho_1} \right)_n$:

$$\lg \left(\frac{\varrho_k}{\varrho_1} \right)_4 = -1.875; \quad \left(\frac{\varrho_k}{\varrho_1} \right)_4 = 0.75$$

$$\lg \left(\frac{\varrho_k}{\varrho_1} \right)_8 = -1.95; \quad \left(\frac{\varrho_k}{\varrho_1} \right)_8 = 0.87$$

$$\lg \left(\frac{\varrho_k}{\varrho_1} \right)_{16} = 0.11; \quad \left(\frac{\varrho_k}{\varrho_1} \right)_{16} = 1.29$$

$$\lg \left(\frac{\varrho_k}{\varrho_1} \right)_{32} = 0.275; \quad \left(\frac{\varrho_k}{\varrho_1} \right)_{32} = 1.89$$

象在前面的情況一樣，在 B33 的空白對數紙上畫上等於單位值的 ϱ_1 和 h_1 ，以及給定值 $\frac{\varrho_2}{\varrho_1}$, $\frac{\varrho_3}{\varrho_1}$ 和 $\frac{h_2}{h_1}$ 。接着畫上位於第一條三層曲線的 $(4, 0.74)$, $(8, 0.776)$, $(16, 1.07)$ 和 $(32, 1.32)$ ，以及位於第二條三層曲線上的點 $(4, 0.75)$, $(8, 0.87)$, $(16,$

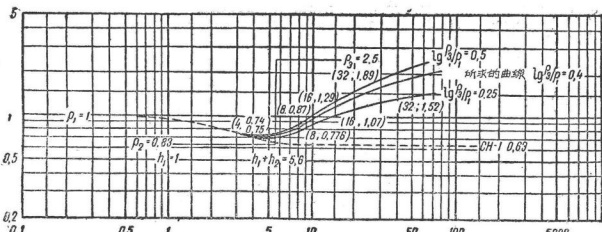


圖 10

1.29) 和 (32; 1.89)。作出系数 $\frac{\ell_2}{\ell_1} = 0.63$ 的兩層曲綫，并根据求出的点作出兩条三層曲綫，而以摸数为 $\frac{\ell_2}{\ell_1} = 0.63$ 的兩層曲綫作为其左漸近綫。在这兩条曲綫之間進行内插，不难求得未知曲綫。所討論繪制曲綫的实例如圖10所示。

2. 垂向电测深(B93)三層曲綫的解釋

例4 給定圖11的B93曲綫。要求确定与此曲綫相应的断面上的參变数。

用CH-1量板，或者用任一条与給定的B93曲綫最相近的三層曲綫确定 ℓ_1 和 h_1 ，在所討論的实例中我們有：

$$\ell_1 = 7; \quad h_1 = 6.$$

找出这样一些 $\frac{AB}{2}$ 的值，假如 $\frac{AB}{2h_1}$ 分別等于 4, 8, 16 和 32。它们將为 24, 48, 96 和 192。

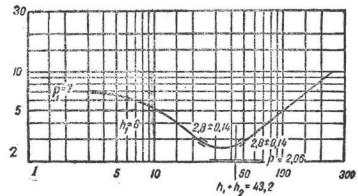


圖 11

对所求出的 $\frac{AB}{2}$ 值，我們根据給定的曲綫确定 $(\ell_k)_n$, $(\frac{\ell_k}{\ell_1})_n$, 然后求出 $\lg(\frac{\ell_k}{\ell_1})_n$:

$$(\ell_k)_4 = 2.8; \quad (\frac{\ell_k}{\ell_1})_4 = 0.40; \quad \lg(\frac{\ell_k}{\ell_1})_4 = -1.60$$

$$\begin{aligned}(\varrho_k)_n &= 2.8; \quad \left(\frac{\varrho_k}{\varrho_1}\right)_n = 0.40; \quad \lg\left(\frac{\varrho_k}{\varrho_1}\right)_n = 1.60 \\(\varrho_k)_{16} &= 4.8; \quad \left(\frac{\varrho_k}{\varrho_1}\right)_{16} = 0.685; \quad \lg\left(\frac{\varrho_k}{\varrho_1}\right)_{16} = 1.835 \\(\varrho_k)_{32} &= 8.3; \quad \left(\frac{\varrho_k}{\varrho_1}\right)_{32} = 1.185; \quad \lg\left(\frac{\varrho_k}{\varrho_1}\right)_{32} = 0.075\end{aligned}$$

按給定的曲線的外形來看，我們斷定， $\varrho_n > \varrho_1$ 。因此必須取 $\lg \frac{\varrho_n}{\varrho_1}$ 為正值的列綫圖。我們取 $\lg \frac{\varrho_2}{\varrho_1} = 0.5$ 的列綫圖（附錄12）。在它上面放上一張透明紙或者 B33 坐標紙，並畫上相應于上述 $\lg\left(\frac{\varrho_k}{\varrho_1}\right)$ 值的曲線。我們得到的曲線如圖12上所示。曲線不是相交于一點。因而，或者是所取的 $\lg \frac{\varrho_n}{\varrho_1}$ 任一值不适合 B33 曲線，或者是給出的曲線不是三層曲線。

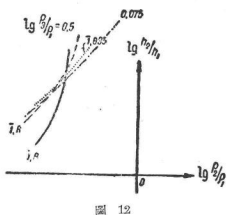


圖 12

取 $\lg \frac{\varrho_3}{\varrho_1} = 1.0$ 的列綫圖（附錄14）。在它上面放上一張透明紙，又重新畫上相應于上述的 $\lg\left(\frac{\varrho_k}{\varrho_1}\right)_n$ 值的曲線，我們得到的曲線如圖13上所示。這些曲線仍不交于一點，可是各曲線的相互位置已變化。 $\lg\left(\frac{\varrho_k}{\varrho_1}\right)$ 等于 1.6 和 1.6 的曲線的交點，在第一種情況下，交

于 1.835 和 0.075 曲線，而在第二種情況下低于它們。這樣就有根據地假設，在 0.5 和 1.0 之間的 $\lg \frac{\varrho_n}{\varrho_1}$ 值是滿足我們所給定的曲線的。

取 $\lg \frac{\varrho_3}{\varrho_1} = 0.75$ 的列綫圖（附錄13）。用與上述類似的方法進行繪制（圖14）。我們看到，所有曲線相交于一點。交點的坐標就是所要尋求的 $\lg\left(\frac{\varrho_2}{\varrho_1}\right)$ 和 $\left(\frac{h_2}{h_1}\right)$ 的值。利用雙對數坐標紙（B33 坐標紙），我們就直接求得 $\frac{\varrho_2}{\varrho_1}$ 和 $\frac{h_2}{h_1}$ 。

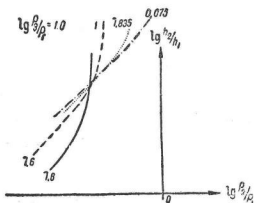


圖 13

在所討論的實例中，我們有：

$$\frac{\varrho_2}{\varrho_1} = 0.295; \quad \frac{h_2}{h_1} = 6.20; \quad \lg \frac{\varrho_3}{\varrho_1} = 0.75 \text{ 和 } \frac{\varrho_3}{\varrho_1} = 5.60$$

考慮到 $\varrho_1 = 7$ 和 $\varrho_3 = 6$ ，因此我們得到：

$$\varrho_2 = 2.05; \quad \varrho_3 = 39.2 \text{ 和 } h = 37.2.$$

由此可見，第一二層的厚度或高電阻層的埋藏深度等子

$$h_1 + h_2 = 43.2.$$

解釋的結果以右“十字”形式畫到圖11上。

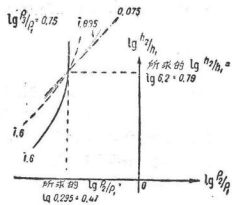


圖 14

指出这一点是有意义的，当 $\lg \frac{\rho_3}{\rho_1}$ 等于 0.5 和 1.0。而不同于所討論的 B33 曲線的 $\lg \left(\frac{\rho_3}{\rho_1} \right)$ 值时， $\lg \left(\frac{\rho_2}{\rho_1} \right) 4.8$ 曲線的交点的坐标所确定的 $\frac{\rho_2}{\rho_1}$ 和 $\frac{h_2}{h_1}$ 值非常接近于真正的值，并分別等于 0.29; 6.0 和 0.30; 6.4。換句話說，確定第二層參變數時的誤差，在這種情況下，只在很小程度上取決于確定第三層參變數時的誤差，因為後者對 $\left(\frac{\rho_3}{\rho_1} \right) 4.8$ 的影響不大。

在這例子里我們將要表明有可能對確定第二層參變數的誤差作出估價，假使是在確定 ρ_k 時具有允許誤差的話。顯見，確定第二層參變數的誤差的最大值是發生在 B33 曲線的中央部分的 ρ_k 值具有誤差的情況下。

設 $\frac{\rho_3}{\rho_1}$ 等于 4 和 8 时，確定 ρ_k 時的誤差等於 $\pm 5\%$ 。因而 $(\rho_k) 4.8$ 將等於 2.80 ± 0.14 ，而 $\left(\frac{\rho_k}{\rho_1} \right)_{4.8} = 0.40 \pm 0.02$ 。由此， $\lg \left(\frac{\rho_k}{\rho_1} \right)_{4.8}$ 將等於 1.60 ± 0.02 。

利用 $\lg \frac{\rho_3}{\rho_1} = 0.75$ 的列綫圖（附錄 13），在透明紙上（圖 15）画上 $\lg \left(\frac{\rho_k}{\rho_1} \right)_{4.8}$ 等于 1.58 和 1.62 的曲線以及画上 $\lg \left(\frac{\rho_k}{\rho_1} \right)_{4.8}$ 等于 1.58 和 1.62 的曲線。我們得到的不是一個點，而是一塊由曲線相交成的呈稜

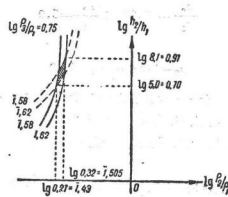


圖 15

形的誤差面積。這個稜形上任一點的坐標都給出第二層可能的參變數，它們相應于測定 ρ_k 時具有 $\pm 5\%$ 的誤差的 B33 曲線。顯見，稜形一對頂點的坐標給出參變數可能變化的極限值。它們的數值如下：

對稜形的上部頂點來說

$$\frac{\rho_2}{\rho_1} = 0.32 \text{ 和 } \frac{h_2}{h_1} = 8.1$$

或者

$$\rho_2 = 2.24 \text{ 和 } h_2 = 48.6$$

對下部頂點而言

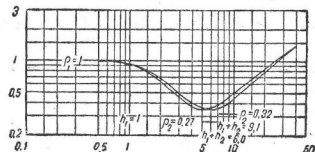


圖 16

$$\frac{\varrho_2}{\varrho_1} = 0.27 \text{ 和 } \frac{h_2}{h_1} = 5.0$$

或

$$\varrho_2 = 1.89 \text{ 和 } h_2 = 30.0$$

由此可見，對於我們所討論的 B93 曲線，在 B93 曲線的極小帶內，測定 ϱ_k 值具有 $\pm 5\%$ 誤差時，則確定各參數時的誤差如下：確定 ϱ_2 時的最大誤差為 $\pm 5\%$ ，確定 h_2 — $\pm 23.5\%$ ，確定兩層總厚度—— $\pm 20.5\%$ 。

相應于上述情況的 B93 曲線的極限位置如圖 16 上所示

例 5. 給定 B93 三層曲線，如圖 17 上所示。要求確定曲線所反映的斷面上的參變數。

用 CH-1 量板或者任一條最接近于給定的 B93 三層曲線的三層量板，求得 ϱ_1 和 h_1 。在所討論的實例中， h_1 的確定是不十分準確的，也可以取它為 3，也可以取它為 3.4； $\varrho_1 = 50$ 。

假設 $h_1 = 3$ ，我們求得與 $\frac{AB}{2h_1}$ 的四個值相應的 $\frac{AB}{2}$ 值，它們將等於 12, 24, 48 和 96。

對於這些 $\frac{AB}{2}$ 值，根據 B93 三層曲線確定 $(\varrho_k)_n$ ，然後確定：
 $(\frac{\varrho_k}{\varrho_1})_n$ 和 $\lg(\frac{\varrho_k}{\varrho_1})_n$ ：

$$(\varrho_k)_4 = 25.0; \quad \left(\frac{\varrho_k}{\varrho_1}\right)_4 = 0.50; \quad \lg\left(\frac{\varrho_k}{\varrho_1}\right)_4 = \bar{1.70}$$

$$(\varrho_k)_8 = 10.0; \quad \left(\frac{\varrho_k}{\varrho_1}\right)_8 = 0.20; \quad \lg\left(\frac{\varrho_k}{\varrho_1}\right)_8 = \bar{1.30}$$

$$(\varrho_k)_{16} = 1.58; \quad \left(\frac{\varrho_k}{\varrho_1}\right)_{16} = 0.0316; \quad \lg\left(\frac{\varrho_k}{\varrho_1}\right)_{16} = \bar{2.50}$$

$(\varrho_k)_{32}$ 是不可能被確定的，因為 B93 沒有做到這樣大的電極距。

根據給定的 B93 三層曲線的外形，我們發現 $\varrho_3 \ll \varrho_1$ 。我們取

$\lg \frac{\varrho_2}{\varrho_1}$ 小於 $\bar{2.5}$ 的列綫圖，因為 $\lg\left(\frac{\varrho_k}{\varrho_1}\right)_{16} = \bar{2.50}$ ，

而 $\lg \frac{\varrho_3}{\varrho_1}$ 顯然應該更小。

利用 $\lg \frac{\varrho_3}{\varrho_1} = -\infty$ 的列綫圖（附圖 1）。類似在例 4 中那樣地繪出曲線，它們如圖 18 上所示，這時我們得到的曲線不相交於一點。前面所做的假設對這例子仍為最有效的（例 4）。取 $\lg \frac{\varrho_3}{\varrho_1} = \bar{2.0}$ 的列綫圖（附圖 2）同樣地進行繪制曲線（圖 19）。曲線仍然不交於一點，可是曲線變成的三角形已經減少，這就證明離較正確的解已不遠了。

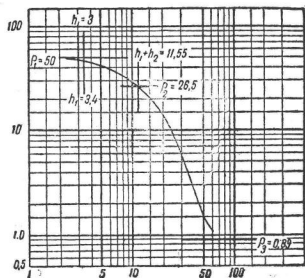


圖 17

取 $\lg \frac{\varrho_3}{\varrho_1} = \bar{2.25}$ 的列綫圖（附圖 3）。同樣地繪制曲線，其曲線交於一點（圖 20）。於是解就求出了。